

## ГЕОХИМИЯ УГЛЕВОДОРОДОВ – БИОМАРКЕРОВ И ИЗОТОПОВ УГЛЕРОДА ОРГАНИЧЕСКОГО ВЕЩЕСТВА ДОМАНИКОВЫХ ОТЛОЖЕНИЙ ТИМАНО-ПЕЧОРСКОГО БАССЕЙНА

© 2023 г. Д. А. Бушнев<sup>a</sup>, \*, Н. С. Бурдельная<sup>a</sup>, М. А. Большакова<sup>b</sup>

<sup>a</sup>Институт геологии им. академика Н.П. Юшкина ФИЦ Коми НЦ УрО РАН, Сыктывкар, 167982 Россия

<sup>b</sup>Московский государственный университет им. М.В. Ломоносова, Москва, 119234 Россия

\*e-mail: boushnev@geo.komisc.ru

Поступила в редакцию 13.03.2022 г.

После доработки 09.09.2022 г.

Принята к публикации 09.09.2022 г.

Установлено, что средние значения коэффициентов по углеводородам-биомаркерам битумоидов доманиковых отложений и нефтей доманико-турнейского комплекса совпадают. Это соотношение  $C_{27}$ – $C_{29}$  стеранов, отношение три-/пентацикланы, коэффициенты  $2 \times C_{17}/C_{16} + C_{18}$  и  $2 \times C_{28}/C_{26} + C_{28}$ , рассчитанные по составу н-алканов. Ряд других показателей в нефтях несколько ниже, чем в битумоидах – это отношения  $Pr/Ph$ ,  $(Pr + Ph)/(n-C_{17} + n-C_{18})$ , диа-/рег- стераны, отношение стераны/гопаны. Средние значения  $\delta^{13}\text{C}$  по фракциям асфальтены, смолы, ароматические УВ, алифатические УВ нефтей доманикового генотипа и изученных битумоидов схожи. Углерод асфальтенов в нефтях обеднен  $^{13}\text{C}$  по сравнению со смолами и ароматическими углеводородами, а в битумоидах – наоборот. В статье высказано предположение о неоднородном составе бактериальной флоры в осадках доманикового моря. В ряде мест, вероятно, доминировали виды с высокими концентрациями диплоптерола или гексафункциональных бактриогопанов, а не бактериогонантетрола.

**Ключевые слова:** доманиковые отложения, Тимано-Печорский бассейн, битумоид, углеводороды-биомаркеры, кероген, катагенез, изотопный состав углерода

DOI: 10.31857/S0016752523020036, EDN: CLDOOI

### ВВЕДЕНИЕ

Доманиковые отложения Тимано-Печорского бассейна (ТПБ) являются одним из основных источников нефтей региона (Анищенко и др., 1984; Кирюхина и др., 1995, 2015; Данилевский и др., 2001; Баженова и др., 2008; Прищепа и др., 2011; Санникова и др., 2017). Эта нефтематеринская толща характеризуется высокой битуминозностью органического вещества (ОВ) пород (Гусева, Кирюхина, 1985; Неручев и др., 1986; Баженова и др., 2008; Кирюхина и др., 2013, 2015; Бушнев, 2002, 2009; Бушнев и др., 2021). Причем удивительно, что эта высокая битуминозность достигается уже на довольно низких стадиях термической зрелости (Бушнев и др., 2021). Нарастая до естественных максимумов к середине главной фазы нефтеобразования (ГФН), затем снижаясь вследствие эмиграции углеводородов (Баженова и др., 2008; Бушнев и др., 2021). Ранее были прослежены характеристики состава углеводородов-биомаркеров на разных этапах зрелости ОВ доманиковых отложений и показаны граничные значения биомаркерных коэффициентов, характерных

для битумоидов, достигших ГФН (Бушнев, Бурдельная, 2021; Бурдельная, Бушнев, 2021).

Изотопные исследования растворимого ОВ пород, нефтей дают дополнительные критерии для корреляции нефтей и нефтематеринского ОВ пород (Галимов, Фрик, 1984; Galimov, 2006; Камалеева и др., 2014; Бушнев, Бурдельная, 2015). Целью работы является комплексный анализ состава углеводородов-биомаркеров, генерационного потенциала ОВ и его изотопных особенностей для нефтематеринских пород доманиковых отложений ТПБ. Выяснение химических и изотопных критериев отнесения нефтей ТПБ к нефтям генетически связанным с отложениями доманика на основании данных о составе битумоида доманиковых отложений.

### ЭКСПЕРИМЕНТАЛЬНАЯ ЧАСТЬ

**Содержание органического углерода ( $C_{\text{опр}}$ ) определялось в нерастворимом в соляной кислоте остатке породы на “Экспресс-анализаторе на углерод АН-7529”.**

**Битумоид** экстрагировался хлороформом в аппарате Сокслета в течение 40 ч. Элементная сера удалялась из экстракта добавлением в приемник губчатой меди в процессе экстракции.

**Фракционирование битумоида** осуществлялось путем предварительно осаждения асфальтенов *n*-гексаном и последующего их удаления. Полученная мальтеновая фракция разделялась на аполярную (масла) и полярную (смолы) фракции на колонке с оксидом алюминия (Sigma-Aldrich) при элюировании 20% раствором дихлорметана в *n*-гексане и смесью дихлорметан-этанол (1/1), соответственно. Аполярная фракция разделялась на насыщенные и ароматические углеводороды (УВ) на колонке с силикагелем (Fluka) и силикагелем, импрегнированным 10% нитратом серебра, предварительно активированным при 150°C в течение 2.5 ч, при элюировании *n*-гексаном и бензолом соответственно. Фракция, содержащая насыщенные УВ, анализировалась методом газовой хроматографии (ГХ) и хромато-масс-спектрометрии (ХМС), фракция, содержащая ароматические УВ – методом ХМС.

**Газохроматографический анализ** выполнялся на приборе Кристалл-2000М. Колонка SPB-1, 30 м × 0.32 мм, толщина слоя неподвижной фазы 0.25 мкм. Температура колонки программировалась от 110 до 300°C, со скоростью 5°C/мин. Температура инжектора и детектора 300°C.

**Хромато-масс-спектрометрия** выполнялась на приборе Shimadzu QP 2010 Ultra. Колонка HP-5, 30 м × 0.25 мм, толщина слоя неподвижной фазы 0.1 мкм. Температура программировалась от 110 до 300°C, со скоростью 5°C/мин. Температура инжектора 300°C, интерфейса 250°C, ионного источника 200°C.

**Исследования изотопного состава углерода (ИСУ)** керогена, нефракционированного битумоида и его фракций производились с использованием масс-спектрометра Delta V Advantage (Thermo), со-пряженного с элементным анализатором Flash EA. Погрешность измерений ИСУ составила 0.15‰. Оператор И.В. Смолева.

**Пиролиз по методу Rock-Eval** был проведен в лаборатории геохимии пластовых нефтей ОАО “ТомскНИПИнефть” Р.С. Кашаповым с использованием прибора Rock-Eval 6 Turbo.

## РЕЗУЛЬТАТЫ И ИХ ОБСУЖДЕНИЯ

### Анализ углеводородов-биомаркеров

Наработка значительного материала по составу углеводородов-биомаркеров, входящих в состав битумоида, позволяет наметить подходы к получению достоверно усредненных данных по нефтематеринским характеристикам доманиковых отложений для целей корреляции их с нефтя-

ми ТПБ. Первая попытка поиска усредненных значений генетически значимых соотношений углеводородов-биомаркеров доманика была предпринята в работе (Бушнев и др., 2021). В данной работе нами приводятся данные по составу углеводородов-биомаркеров битумоида, полученные при усреднении значений биомаркерных коэффициентов образцов битуминозных пород среднего франа и, частично верхнего франа и фамена Тимано-Печорского бассейна (Бурдельная, Бушнев, 2021; Бушнев, 2002, 2009; Бушнев, Бурдельная, 2013, 2015, Бушнев и др., 2017а, 2021; Kotik et al., 2021; Котик и др., 2019). Локализация всех точек пробоотбора пород приведена на рис. 1. Общей характеристикой изученных проб битумоида доманика является принадлежность разрезов к общей линии трансформации органического вещества доманика при катагенезе по данным пиролиза Rock-Eval (рис. 2).

Геохимия нефтей Тимано-Печорского бассейна, включая данные о составе и распределении углеводородов-биомаркеров, была предметом многочисленных исследований (Бушнев и др., 2002, 2009, 2015, 2017, 2021; Баженова и др., 2008; Кирюхина и др., 2013, 2015). Были выделены геохимические группы нефтей, генетически связанных с ОВ отложений доманика (Бушнев и др., 2017б). Ранее выделялось пять групп нефтей из верхнедевонских отложений, третья, четвертая и пятая представляют собой варианты “доманиковой” нефти, а первая и вторая группы нефтей имеют состав углеводородов-биомаркеров, не позволяющий определить генотип данных нефтей как доманиковый (Бушнев и др., 2017б). Представим здесь усредненные данные по составу углеводородов-биомаркеров нефтей третьей, четвертой и пятой групп (Бушнев и др., 2017б), т.е., собственно, доманиковых (табл. 1).

Данные о составе углеводородов-биомаркеров доманиковых нефтей и битумоидов из пород доманико-турнейского комплекса представлены в таблице. Приводятся усредненные данные для 29 проб нефти и 37 проб битумоида, по всем изученным пробам были получены данные о составе *n*-алканов, изопренанов, стерановых и гопановых углеводородов. Самым информативным показателем, отражающим вклад различных групп производителей в состав исходной биоты, является распределение стеранов состава C<sub>27</sub>–C<sub>29</sub>. Есть различные варианты диагностических полей в треугольных диаграммах (Huang, Meinschein, 1979; Peters et al., 2005). Усредненные значения распределения C<sub>27</sub>–C<sub>29</sub> стеранов в битумоидах доманиковых пород и нефтях доманиковых генотипов практически неотличимы друг от друга, так как совпадают с точностью до процента (табл. 1).

Отношение трициклических терпанов к пенатициклическим зависит от ряда факторов (van

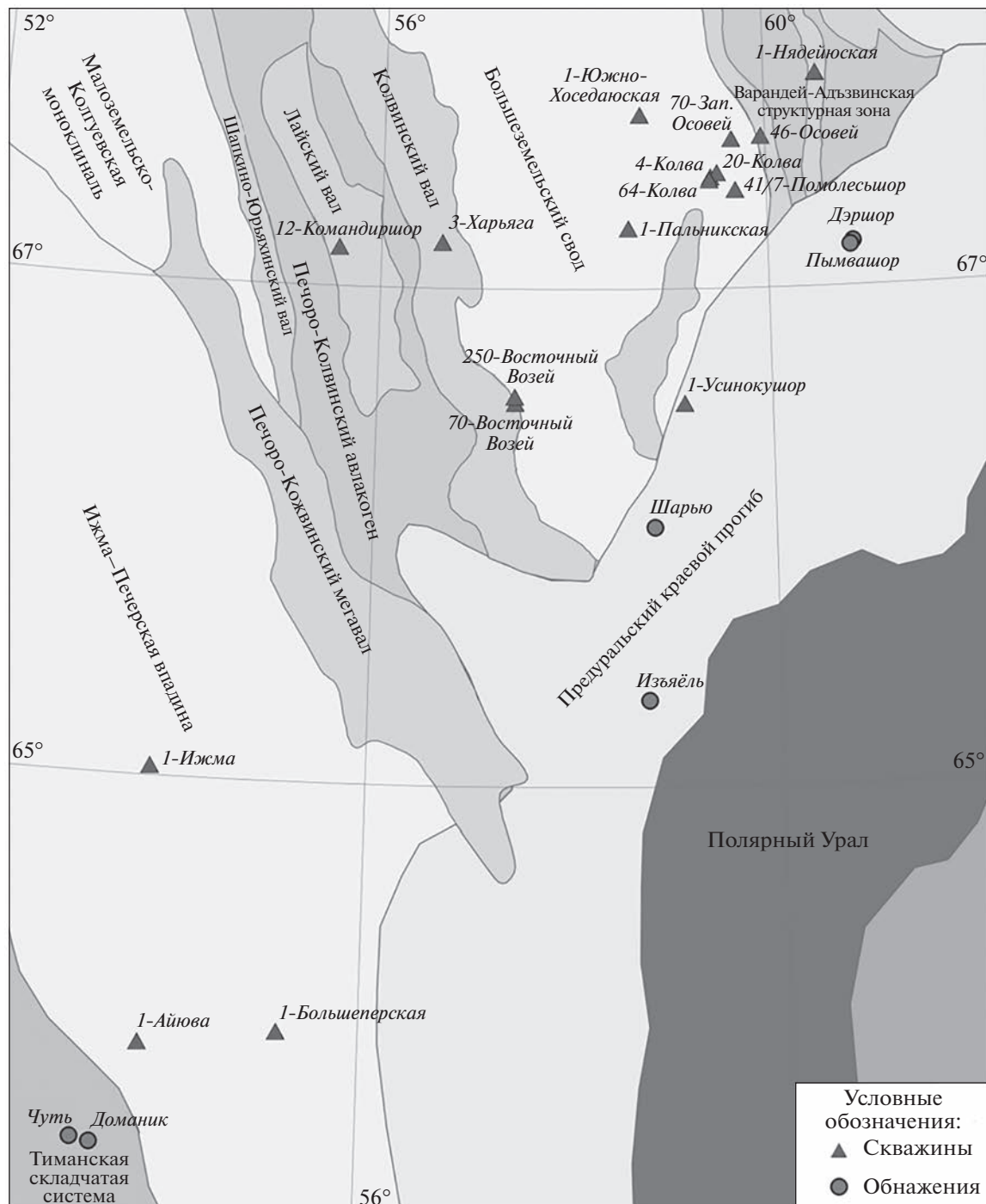
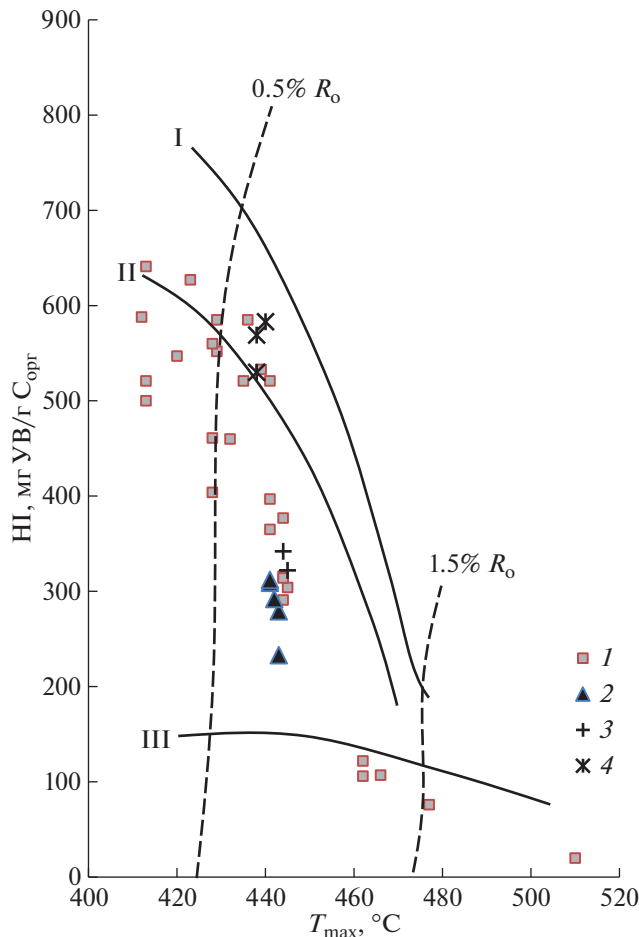


Рис. 1. Расположение скважин и обнажений для исследования ОВ проб пород на территории Тимано-Печорского бассейна.

Graas, 1990; Peters, Moldowan, 1993). Проведенные нами усреднения для нефти доманиково-турнейского комплекса и ОВ доманикитов свидетельствуют о хорошей сходимости. При этом, разброс значений отношения три-/пентациклины и для нефти и для ОВ довольно велик, что отражает вариативность условий накопления ОВ

доманиковых пород. Последний фактор обязательно следует учитывать при проведении корреляции в системе ОВ пород–нефть.

Отношение стерана/гопаны, в большей мере контролируется условиям фоссилизации, чем составом исходного ОВ, так как определяется соотношением остатков прокариот и эукариот, то есть



**Рис. 2.** Зависимость показателя HI от  $T_{\max}$  по данным пиролиза Rock-Eval. 1 – ранее опубликованные данные по породам доманика (Бушнев и др., 2017b), 2 – пробы из скв. 1-Большеперская, 3 – из скв. 1-Пальникская, 4 – из скв. 1-Южно-Хоседауская.

степенью бактериальной переработки исходного ОВ в осадке (Connan et al., 1986; Moldowan et al., 1985). Исходя из средних значений отношения стераны/гопаны для выборки нефти и для выборки битумоидов понятно, что умеренная диагенетическая переработка ОВ характерна для пород доманика и находит отражение в составе генерируемых этим органическим веществом нефти. Для ОВ пород средняя величина отношения стераны/гопаны выше, чем в среднем для изученных нефтей.

Величина отношения диастераны/регулярные стераны в среднем для нефти доманикового генотипа составляет 0.58, а для битумоидов – 0.92. Считается, что содержание диастеранов или, по-другому перегруппированных стеранов зависит от литологического состава пород, где происходит преобразование ОВ (Sieskind et al., 1979). При повышенном содержании каталитически активных глинистых минералов перегруппировка сте-

роидного углеродного скелета с миграцией метильных заместителей идет активнее. Кроме того, отношение диа-/рег-стераны зависит от катагенеза и имеет тенденцию к росту при термическом созревании (Siebert, Moldowan, 1978; Peters et al., 2005).

Значения отношения пристан/фитан ( $\text{Pr}/\text{Ph}$ ) для нефти доманикового генотипа в среднем составляет 1.44, а в среднем по выборке исследованных битумоидов превышает 2. Данный показатель отражает окислительно-восстановительный потенциал среды раннего диагенеза (Peters et al., 2005). В небольших пределах он также увеличивается при термическом созревании ОВ, как это следует из результатов лабораторного моделирования (Koopmans et al., 1998; Бушнев, 2013). Ранее отмечалось, что для пород верхнедевонских отложений ТПБ встречаются образцы битумоида с очень высокими значениями  $\text{Pr}/\text{Ph}$  (Бушнев и др., 2017a), это отражено в таблице. Вероятно, что на зафиксированную разницу величины  $\text{Pr}/\text{Ph}$  нефти и битумоидов влияют и фактор качества ОВ – битумоид с более низкими значениями  $\text{Pr}/\text{Ph}$  дает больше нефтяных углеводородов, так и фактор катагенеза, влияющий на показатели ОВ после отделения миграционноспособного битумоида. Отношение изопреноидных алканов к нормальным, выраженное через принятый в отечественной литературе коэффициент  $K_i$  равный  $\text{Pr} + \text{Ph}/C_{17} + C_{18}$  и в нефтях доманикового генотипа и в соответствующих битумоидах высокий. С данным коэффициентом ситуация противоположная отношению  $\text{Pr}/\text{Ph}$ . Дело в том, что  $K_i$  достоверно снижается с ростом термической зрелости (Connan, Cassow, 1980). Вероятно, что породы верхнедевонского комплекса, битумоид которых имеет повышенное значение отношений  $\text{Pr}/\text{Ph}$  и  $K_i$ , принимают относительно меньшее участие в формировании фактической нефтеносности.

Показатели, отражающие соотношение нечетных  $n$ -алканов к четным, такие как  $2 \times C_{17}/C_{16} + C_{18}$  и  $2 \times C_{27}/C_{26} + C_{28}$  в своих средних значениях для нефти и битумоидов пород совпадают, либо незначительно отличаются. Первый показатель в основном отражает вклад водорослевого ОВ, для которого характерно доминирование углеводорода  $C_{17}$ . Его незначительное доминирование связано с небольшим, но характерным влиянием соответствующей биоты. Значения второго показателя скорее позволяет утверждать, что вклад терригенного ОВ в породы доманика отсутствует.

Сравнение показателей зрелости для ОВ и нефти бассейна в целом представляется неполностью корректным. Дело в том, что породы, взятые для исследования, содержат, в том числе и не зрелое ОВ. Ранее (Бушнев и др., 2021) для ОВ доманиковых отложений были предложены критерии отнесения пород доманика к зрелым, достигшим

**Таблица 1.** Характеристика углеводородов-биомаркеров нефти верхнедевонского комплекса доманикового генотипа (Бушнев и др., 2017б) и битумоидов из пород верхнедевонских отложений. Среднее/минимальное-максимальное значения

Показатель	В нефтях (29 проб)	В битумоидах (37 проб)
Pr/Ph	1.44/1.06–2.30	2.14/0.87–5.20
Pr + Ph/C <sub>17</sub> + C <sub>18</sub>	0.87/0.34–1.73	1.25/0.16–3.17
2*C <sub>17</sub> /C <sub>16</sub> + C <sub>18</sub>	1.06/1.01–1.20	1.12/1.01–1.45
2*C <sub>27</sub> /C <sub>26</sub> + C <sub>28</sub>	0.90/0.77–1.00	0.88/0.62–1.38
22S/22S + R	0.57/0.51–0.60	0.55/0.41–0.62
20S/20S + R	0.43/0.35–0.49	0.38/0.14–0.51
22S/22S + R C <sub>32</sub>	0.61/0.58–0.66	0.55/0.35–0.66
βα, % C <sub>30</sub>	8.09/5.37–10.12	11.05/4.26–24.57
αββ/αββ + ααα	0.58/0.48–0.66	0.46/0.20–0.66
C <sub>27</sub> , %	35/30–38	34/26–43
C <sub>28</sub> , %	18/16–21	17/12–22
C <sub>29</sub> , %	47/44–50	48/42–58
Ts/Tm	0.85/0.37–2.89	1.63/0.04–4.12
три/пента	0.19/0.07–0.40	0.16/0.05–0.57
стераны/гопаны	0.24/0.08–0.40	0.37/0.08–1.37
C <sub>23</sub> /C <sub>24</sub>	1.64/1.22–2.19	2.12/1.22–4.07
Диа-/рег-стераны	0.58/0.35–1.21	0.92/0.08–2.40

ГФН. Значения показателей зрелого доманика следующие: отношение 20S/20S + R для ααα стеранов состава C<sub>29</sub> ≥ 0.40; соотношение αββ/ααα + αββ для стеранов состава C<sub>29</sub> ≥ 0.50; значение отношения βα/αβ + βα для гопанов состава C<sub>30</sub> (для моретана, %) ≤ 0.10; отношение Ts/Tm ≥ 0.70. Из таблицы следует, что для исследований отбирались породы содержащие как незрелое, так и зрелое ОВ. При этом среди исследованных битумоидов в коллекции представлены образцы, содержащие ОВ, характеризующееся большей степенью термической зрелости по сравнению с нефтями, имеющими самые высокие показатели катагенеза по биомаркерным показателям. Отсюда очевидно, что генерация нефти в отложениях доманика приурочена к вполне определенному уровню термической зрелости и завершается еще при относительно умеренных градациях катагенеза.

Обобщая сделанные наблюдения, относящиеся к сопоставлению ряда геохимических показателей для нефти доманикового генотипа и битумоидов пород отложений доманика, можно сказать, что некоторые показатели очевидным образом наследуются нефтью без существенных искажений по сравнению с исходным ОВ. Это распределение стеранов C<sub>27</sub> : C<sub>28</sub> : C<sub>29</sub>, это распределение n-алканов и это отношение трициклических терпанов к пентациклическим. Эти показатели в дальнейших работах по доманику можно расценивать как прямые признаки участия пород с соответствующими значениями в формировании фактической нефтеносности. В то же время ряд показателей имеют закономерное в своих

средних значениях отличие для нефти и битумоида нефтематеринских пород. Для битумоидов пород с такими – отличными от средних для нефти доманика значениями коэффициентов Pr/Ph, Pr + Ph/C<sub>17</sub> + C<sub>18</sub>, диа-/рег-стерааны формируется понимание, что повышенное значение таких показателей не является основанием для исключения конкретных изучаемых пород из нефтематеринских, определяющих фактическую нефтеносность заданной территории.

#### Особенности состава углеводородов ряда гопана

Продолжающееся изучение состава битумоида из пород доманиковых отложений приводит к пониманию широкой вариативности состава углеводородов-биомаркеров, характерных для типичных по значениям C<sub>org</sub>, битуминозности, пиролитическим характеристикам разностей. То есть высокобитуминозные, нефтематеринские породы данной толщи, участвующие в фактическом нефтеобразовании, могли накапливаться при определенной изменчивости состава исходного органического вещества. Проиллюстрируем сказанное данными по составу углеводородов гопанового ряда, битумоида доманиковых пород, относящихся к единому тренду преобразования органического вещества доманика по данным пиролиза Rock-Eval и включенных нами во все выборки для усреднения. Скважина 1-Большеперская, пробуренная в Ижма-Печорской впадине, вскрывает разрез верхнего девона несколько во-

сточнее Тиманских стратотипических разрезов (рис. 1). Зрелость ОВ, судя по данным пиролиза Rock-Eval выше, чем в обнажениях по рр. Чуть и Доманик, а также в расположенной западнее скважине 1-Айювинская (рис. 2).

Распределение пентациклических тритерпанов в битумоиде скважины 1-Большеперская довольно необычное. Здесь можно отметить две видимые особенности. Во-первых, пик  $\alpha\beta$  гопана состава  $C_{30}$  очень интенсивен (рис. 3). Во-вторых, пик, рядом с норгопаном, идентифицируемый как  $C_{29}Ts$ , практически соответствует ему по высоте.  $C_{29}Ts$ , т.е.  $18\alpha(H)-17\alpha$ -метил-28,30-диноргопан, впервые был идентифицирован (Moldowan et al., 1991). Тогда образование данного углеводорода связали с перегруппировкой предшественников регулярного строения при кислотном катализе на глинах. Позже (Farrimond, Telnaes, 1996) было показано, что  $C_{29}Ts$  не коррелирует с другими перегруппированными диагопанами, а значит, может иметь отдельный биохимический предшественник, например, диплоптерол. Состав последнего соединения гопаноидного строения  $C_{30}$ . Поэтому доминирование  $C_{30}$   $\alpha\beta$  гопана совместно с  $C_{29}Ts$  вполне логично и позволяет принять в качестве рабочей гипотезы относительное доминирование диплоптерола в исходном ОВ по сравнению с обычным бактериогопантетролом в скв. 1-Большеперская. Интерпретация осложняется тем, что  $C_{29}Ts$  по отношению к норгопану ( $C_{29}\alpha\beta$ ) растет с увеличением термической зрелости (Peters et al., 2005). В нашем случае катагенез ОВ изучаемого разреза неотличим от других ранее исследованных образцов доманика из ГФН.

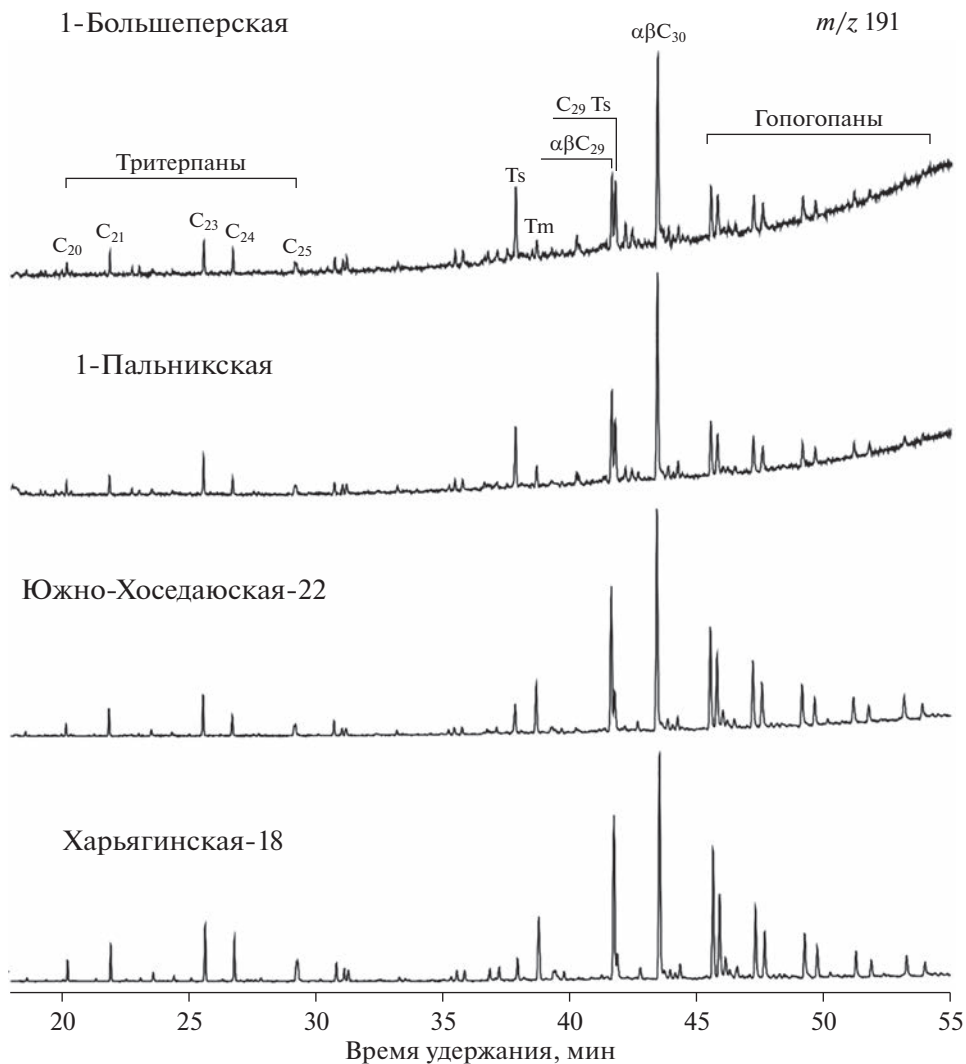
Диплоптерол распространен во многих, если не во всех прокариотах наряду с бактериогопантетролом (Hanisch et al., 2003; Rohmer et al., 1984). Соответственно, это неспецифичный биомаркер бактериальной биомассы, тем более что он также характерен для простейших, грибов, цианобактерий. Тем не менее, зафиксированные в битумоиде 1-Большеперской отличия в распределении тритерпанов от обычного для доманика их распределения могут свидетельствовать об изменениях в составе исходной биоты в разрезах восточнее стратотипических Тиманских (рр. Чуть, Доманик, рис. 1). Для выявления возможных случаев доминирования гопана  $C_{30}$ , мы вводим коэффициент  $C_{30}/(C_{29} + C_{31})$ . Его значения в большинстве изученных ранее разрезов доманика менее единицы. В 1-Большеперской 1.15–1.30, также повышенные значения данного коэффициента увеличены над фоном в разрезе Дэршор, 1-Ижма и 1-Пальникская (рис. 3). Исследования (Farrimond et al., 2000) свидетельствуют о том, что в ряде озерных осадков среди гопаноидных липидов доминируют гекса-

функциональные производные, в большей мере, чем бактериогопантетрол склонные к дальнейшему укорочению боковой цепи с образованием  $C_{30}$  гопана. При любом источнике гопана состава  $C_{30}$  – либо диплоптерола состава  $C_{30}$ , либо гексафункциональных гопаноидов состава  $C_{35}$  вывод о том, что распределение гопанов в скважинах 1-Большеперская, 1-Ижма и 1-Пальникская, разрезе руч. Дэршор необычно и отражает смену бактериальной биоты остается неизменным.

#### *Изотопный состав углерода в битумоиде и керогене из доманиковых пород ТПБ*

**ИСУ керогена.** Всего исследовано 48 образцов керогена, относящихся к доманиковым отложениям среднего франа и ряду домаников фран-фаменских отложений (табл. 2). Для анализа встречаемости значений была построена соответствующая гистограмма (рис. 4). Значения  $\delta^{13}\text{C}$  керогена доманика изменяются в довольно широких пределах и варьируют от  $-30.1$  до  $-26.7\text{\textperthousand}$ . Большая часть изученной выборки образцов керогена имеет относительно легкий изотопный состав углерода. Значения  $\delta^{13}\text{C}$  керогенов этой группы изменяются от  $-30.0$  до  $-28.5\text{\textperthousand}$ , т.е. принадлежат узкому диапазону, не превышающим  $1.5\text{\textperthousand}$   $\delta^{13}\text{C}$ . Из рисунка очевидно, что наличествует и группа образцов, имеющих  $\delta^{13}\text{C}$  выше  $-28.0\text{\textperthousand}$ , не относящихся к группе “легких” и, вероятно, представляющих собой либо крыло мономодального распределения значений  $\delta^{13}\text{C}$ , либо отдельную моду на частотном графике. Для уточнения нашего представления о распределении значений  $\delta^{13}\text{C}$  в керогене доманика был построен следующий график (рис. 5), представляющий собой гистограмму встречаемости значений  $\delta^{13}\text{C}$  по местонахождениям доманика, а не по единичным образцам. Как и в работе (Бушнев и др., 2021), при усреднении производилась оценка разброса значений  $\delta^{13}\text{C}$  внутри местонахождения. В случае очевидного присутствия двух или трех наборов значений  $\delta^{13}\text{C}$  для одного местонахождения в результирующий график попадали 2 или 3 точки, отвечающие одному местонахождению. Полученный результат подтверждает основную моду значений  $\delta^{13}\text{C}$  керогена в интервале от  $-30.0$  до  $-28.5\text{\textperthousand}$ . Согласно рис. 5, выделение небольшой моды, отвечающей изотопному составу углерода со значениями  $\delta^{13}\text{C}$  керогена от  $-28.0$  до  $-27.5\text{\textperthousand}$ , является несколько более уверенным, чем по единичным образцам.

**ИСУ битумоида.** Проведем такой же анализ встречаемости значений  $\delta^{13}\text{C}$  в 63 образцах битумоида (табл. 2, рис. 4). Из приведенных данных следует, что вариативность изотопного состава углерода битумоида доманиковых отложений вы-



**Рис. 3.** Масс-хроматограммы фракций насыщенных углеводородов битумоида, построенные по иону с  $m/z = 191$ . 1-Большеперская и 1-Пальникская – высокий пик  $\alpha\beta$  гопана состава  $C_{30}$ , 22-Южно-Хоседауская и 18-Харьгинская – распределение гопанов типичное для основной части исследованных битумоидов.

ше, чем у керогена. Отчасти несоответствие может объясняться меньшим числом изотопных анализов керогена по сравнению с битумоидом. Второе отличие характера распределения значений  $\delta^{13}\text{C}$  битумоида от керогена состоит в отсутствии четкой моды характеристических значений. Распределение в целом выглядит скорее широким мономодальным. При частотном анализе по местонахождениям битумоида можно условно говорить о выявлении двух основных максимумов (рис. 5). Первый максимум соответствует интервалу значений  $-30.5\ldots-29.5\%$   $\delta^{13}\text{C}$ , где битумоид относительно обеднен  $^{13}\text{C}$ , а второй интервал значений  $-29.0\ldots-28.0\%$ , где битумоид относительно обогащен  $^{13}\text{C}$ .

**ИСУ фракций органического вещества пород и нефтей.** В табл. 2 приведены средние значения из-

меренных величин  $\delta^{13}\text{C}$  для изученных выборок керогена, битумоида и его фракций, а также фракций нефтей доманикового генотипа. ИСУ асфальтенов, смол, ароматической и алифатической фракций, выделенных из битумоида пород и нефтей доманикового генотипа ТПБ в своих средних для изученной выборки значениях  $\delta^{13}\text{C}$  оказывается весьма близким. Средние значения  $\delta^{13}\text{C}$  асфальтенов, смол, фракций ароматических и алифатических углеводородов битумоида отличаются от значений соответствующих фракций нефти на  $0.2\text{--}0.3\%$ . Среди фракций битумоида наиболее высокое содержание изотопа  $^{13}\text{C}$  оказывается характерным также для фракции асфальтенов. В среднем углерод асфальтенов нефти содержит меньше тяжелого изотопа по сравнению углеродом смол и ароматических углеводородов.

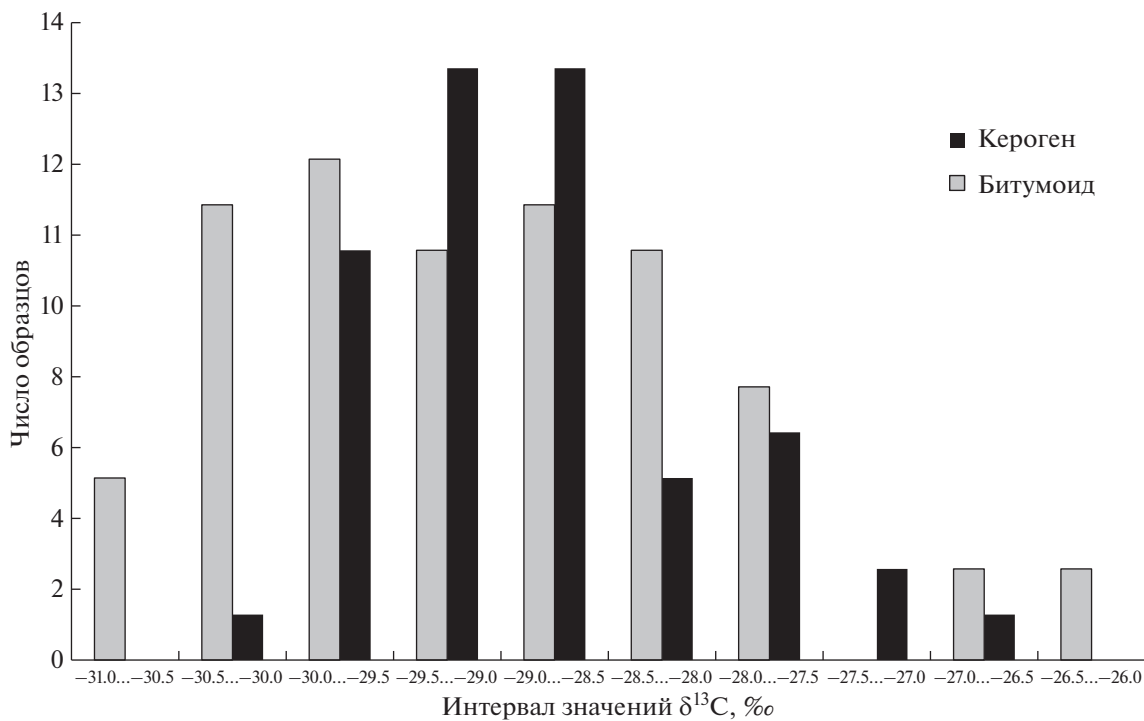


Рис. 4. Встречаемость значений  $\delta^{13}\text{C}$  в исследованных пробах керогена и битумоида ТПБ.

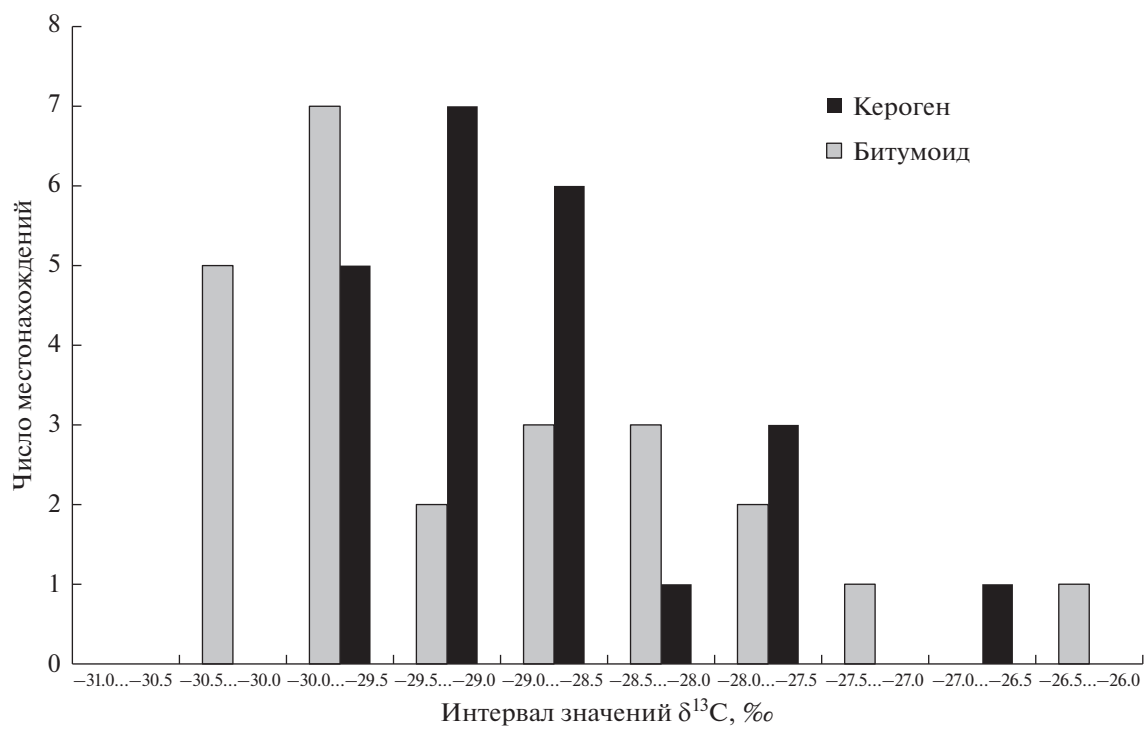


Рис. 5. Встречаемость значений  $\delta^{13}\text{C}$  керогена и битумоидов в исследованных местонахождениях.

**Таблица 2.** Изотопный состав углерода органического вещества пород и нефтей

Фракция органического вещества пород или нефти	Среднее значение $\delta^{13}\text{C}$ , ‰	Минимум-максимум $\delta^{13}\text{C}$ , ‰ (число измерений)
Органическое вещество пород		
Кероген	$-28.9 \pm 0.76$	$-30.1\ldots-26.7$ (48)
Нефракционированный битумоид	$-29.1 \pm 1.06$	$-30.9\ldots-26.4$ (63)
Асфальтены	$-28.9 \pm 0.78$	$-30.5\ldots-27.5$ (37)
Смолы	$-29.2 \pm 0.86$	$-30.7\ldots-26.9$ (38)
Ароматические УВ	$-29.4 \pm 0.94$	$-30.9\ldots-27.5$ (38)
Насыщенные УВ	$-30.0 \pm 0.73$	$-31.2\ldots-28.2$ (38)
Нефть		
Асфальтены	$-29.2 \pm 0.38$	$-30.1\ldots-28.3$ (29)
Смолы	$-28.9 \pm 0.42$	$-29.6\ldots-28.2$ (29)
Ароматические УВ	$-29.1 \pm 0.53$	$-30.0\ldots-28.3$ (29)
Насыщенные УВ	$-30.2 \pm 0.29$	$-30.7\ldots-29.6$ (29)

Важно отметить, что в изученной выборке нефтей доманикового генотипа наблюдается более узкий по сравнению с битумоидом интервал значений  $\delta^{13}\text{C}$ , характерный для отдельных фракций.

## ЗАКЛЮЧЕНИЕ

Представленные новые данные о составе углеводородов-биомаркеров в битумоидах пород доманика ТПБ позволили высказать предположение о вариативности состава микробиальной микрофлоры в разных частях палеобассейна. Доминирование  $\alpha\beta$  гопана состава  $C_{30}$  над  $C_{29}$  и  $C_{31}$  может являться признаком повышенного вклада диплоптерола – гопаноида состава  $C_{30}$ , либо гексафункциональных бактериогопанов состава  $C_{35}$ , также дающих повышенный выход углеводородов состава  $C_{30}$ .

Анализ данных об изотопном составе углерода керогена и битумоида из верхнедевонских отложений ТПБ свидетельствует о возможном бимодальном, либо ассиметричном распределении значений  $\delta^{13}\text{C}$ , которое более выражено в случае битумоида. Основная часть выборки исследованных образов керогена характеризуется значениями  $\delta^{13}\text{C}$  в интервале  $-30.0\ldots-28.5\text{‰}$  при небольшом максимуме от  $-28.0\ldots-27.5\text{‰}$ . Для изученных образцов битумоида наиболее характерен интервал значений  $\delta^{13}\text{C} -30.5\ldots-29.5\text{‰}$ , подчиненное значение имеет интервал  $-29.0\ldots-28.0\text{‰}$ . Средние изотопные отношения  $\delta^{13}\text{C}$  отдельных фракций битумоида – асфальтенов, смол, ароматических и алифатических углеводородов незначительно (на 0.2–0.3‰) отличаются от соответствующих средних значений  $\delta^{13}\text{C}$  изученных нефтей

доманикового генотипа. Для битумоида оказалось характерным повышенное содержание изотопа  $^{13}\text{C}$  в асфальтенах, по сравнению с другими фракциями. Это отличает углерод асфальтенов битумоида от углерода асфальтенов нефти.

На основании усреднения значительного массива данных о составе углеводородов битумоида верхнедевонских отложений и нефтей доманико-турнейского комплекса удалось оценить применимость ряда биомаркерных коэффициентов для целей корреляции в системе ОВ пород – нефть. Наиболее совпадающие средние были получены для распределения стерановых УВ  $C_{27}-C_{28}-C_{29}$ . Здесь отличия среднего для битумоида и нефти не превышает 1%, что позволяет говорить о характеристичном для доманиковых нефтей Тимано-Печоры их соотношении как 35 : 18 : 47. Также неотличимы средние для битумоида и нефтей величины отношения три-/пентацикланы. Хорошее соответствие между битумоидами и нефтями наблюдается по таким показателям по  $n$ -алканам как  $2 \times C_{17}/C_{16} + C_{18}$  и  $2 \times C_{27}/C_{26} + C_{28}$ . Ряд других коэффициентов, считающихся генетически значимыми, в среднем по исследованной выборке нефтей отличаются от своих средних значений в битумоидах. Это такие показатели как диа-/регстераны, соотношение стераны/гопаны, отношение  $\text{Pr}/\text{Ph}$ . Проведенный анализ позволяет уточнить применимость исследованных биомаркерных коэффициентов при региональных работах в Тимано-Печорском осадочном бассейне.

## СПИСОК ЛИТЕРАТУРЫ

- Анищенко Л.А., Данилевский С.А., Трифачев Ю.М. и др. (1984) Отчет по теме: “Изучение геохимических закономерностей размещения крупных зон нефтегазообразования в Тимано-Печорской провинции”. ТПО ВНИГРИ, г. Ухта (фонды УНГГ, инв. № 10128).
- Баженова Т.К., Шиманский В.К., Васильева В.Ф., Шапиро А.И. Яковleva (Гембицкая) Л.А., Климова Л.И. (2008) Органическая геохимия Тимано-Печорского бассейна. СПб.: ВНИГРИ, 164 с.
- Бурдельная Н.С., Бушнев Д.А. (2021) Новый показатель зрелости в органическом веществе доманиковых отложений. *Геология и геофизика*. 2, 187–196.
- Бушнев Д.А., Бурдельная Н.С., Валяева О.В., Деревенникова А.А. (2017b) Геохимия нефтей позднего девона Тимано-Печорского бассейна. *Геология и геофизика*. 58 (3–4), 410–422.
- Бушнев Д.А. (2009) Органическое вещество Ухтинского доманика. *ДАН*. 426(4), 516–519.
- Бушнев Д.А. (2002) Особенности состава биомаркеров битумоида и продуктов пиролиза керогена отложений верхнего девона Печорского бассейна. *Нефтехимия*. 42(5), 325–339.
- Бушнев Д.А., Бурдельная Н.С. (2013) Моделирование процесса нефтеобразования углеродистым сланцем доманика. *Нефтехимия*. 53(3), 163–170.
- Бушнев Д.А., Бурдельная Н.С. (2015) Нефти и органическое вещество позднедевонских отложений Тимано-

- Печорского бассейна, сопоставление по молекулярным и изотопным данным. *Нефтехимия*. **55**(5), 375–382.
- Бушнев Д.А., Бурдельная Н.С., Журавлев А.В. (2017а) Органическое вещество верхнедевонских отложений гряды Чернышева. *Геохимия*. (6), 527–538.
- Bushnev D.A., Burdel'naya N.S., Zhuravlev A.V. (2017a) Organic Matter in Upper Devonian Deposits of the Cherynshev Ridge. *Geochem. Int.* **55**(6), 548–558.
- Бушнев Д.А., Бурдельная Н.С., Шадрин А.Н., Фадеева Н.П., Смирнов М.Б. (2021) Органическое вещество домаников Тимано-Печорского бассейна – условия проявления главной фазы нефтеобразования. *Геология и геофизика*. **62**(8), 1048–1055.
- Галимов Э.М., Фрик М.Г. (1985) Изотопный метод диагностики нефтематеринских отложений. *Геохимия*. (10), 1474–1484.
- Гусева А.Н., Кирюхина Т.А. (1985) Закономерности размещения и условия формирования состава тяжелых нефтей Тимано-Печорского НГБ. *тр. ИГиРГИ. Распространение и условия формирования тяжелых и сернистых нефтей*. М.: Наука, 83–89.
- Данилевский С.А., Склярова З.П., Трифачев Ю.М. (2001) *Геофлюидальные системы Тимано-Печорской провинции. Атлас карт*. Ухта.
- Камалеева А.И., Кодина Л.А., Власова Л.Н., Богачева М.П., Галимов Э.М. (2014) “Аномальные” нефти Татарстана: генетические корреляции, возможное происхождение. *ДАН*. **458**(2), 201–205.
- Кирюхина Т.А. (1995) Типы нефтей Тимано-Печорского бассейна. *Вестник Московского университета Серия 4 Геология*. (2), 39–49.
- Кирюхина Т.А., Большаякова М.А., Ступакова А.В., Коробкова Н.И., Пронина Н.В., Сауткин Р.С., Суслова А.А. и др. (2015) Литолого-геохимическая характеристика доманиковых отложений Тимано-Печорского бассейна. *Георесурсы*. **2**(61), 87–100.
- Кирюхина Т.А., Фадеева Н.П., Ступакова А.В., Полудеткина Е.Н., Сауткин Р.С. (2013) Доманиковые отложения Тимано-Печорского и Волго-Уральского бассейнов. *Геология нефти и газа*. (3), 76–87.
- Котик И.С., Валяева О.В., Бушнев Д.А., Журавлев А.В. (2019) Геохимия органического вещества доманиковых отложений разреза р. Пымвашор, гряда Чернышева (Тимано-Печорский бассейн). *Вестник ИГ Коми НЦ УрО РАН*. (9), 10–16.
- Неручев С.Г., Рогозина Е.А., Парпарова Г.М. и др. (1986) *Нефтегазообразование в отложениях доманикового типа / Под ред. С.Г. Неручева*. М.: Недра, 247 с.
- Прищепа О.М., Баженова Т.К., Богацкий В.И. (2011) Нефтегазоносные системы Тимано-Печорского осадочного бассейна (включая акваториальную Печороморскую часть). *Геология и геофизика*. **52**(8), 1129–1150.
- Санникова И.А., Большаякова М.А., Ступакова А.В., Сауткин Р.С., Суслова А.А., Козлова Е.В. (2017) Моделирование масштабов генерации углеводородных флюидов доманиковой нефтематеринской толщей Тимано-Печорского бассейна с использованием различных кинетических спектров деструкции органического вещества. *Георесурсы Спецвыпуск Часть 1*, 65–79.
- Connan J., Bouroullec J., Dessert D., Albrecht P. (1986) The microbial input in carbonate-anhydrite facies of a sabkha palaeoenvironment from Guatemala: a molecular approach. *Org. Geochem.* **10**, 29–50.
- Connan J., Cassow A.M. (1980) Properties of gases and liquids derived from terrestrial kerogen at various maturation levels. *Geochim. Cosmochim. Acta*. **44**(1), 1–23.
- Farrimond P. and Telnæs N. (1996) Three series of rearranged hopanes in Toarcian sediments (northern Italy). *Org. Geochem.* **25**(3/4), 165–177.
- Farrimond P., Head I.M., Innes H.E. (2000) Environmental influence on the biohopanoid composition of recent sediments. *Geochim. Cosmochim. Acta*. **64**(17), 2985–2992.
- Galimov E.M. (2006) Isotope organic geochemistry. *Org. Geochem.* **37**, 1200–1260.
- Hanisch S., Ariztegui D., Püttmann W. (2003) The biomarker record of Lake Albano, central Italy—implications for Holocene aquatic system response to environmental change. *Org. Geochem.* **34**, 1223–1235.
- Huang W.-Y., Meinschein W.G. (1979) Sterols as ecological indicators. *Geochim. Cosmochim. Acta*. **43**, 739–745.
- Koopmans M.P., Rijpstra W. Irene C., de Leeuw J.W., Lewan M.D. and Sinninghe Damste J.S. (1998) Artificial maturation of an immature sulfur- and organic matter-rich limestone from the Ghareb Formation, Jordan. *Org. Geochim.* **28**(7–8), 503–521.
- Kotik I.S., Zhuravlev A.V., Maydl T.V., Bushnev D.A., Smoleva I.V. (2021) Early-Middle Frasnian (Late Devonian) carbon isotope Event in the Timan-Pechora Basin (Chernyshев Swell, Pymvashor River section, North Cis-Urals, Russia). *Geologica Acta*. **19**.3, 1–17.
- Moldowan J.M., Fago F.J., Carlson R.M.K., Young D.C., Van Duyne G., Clardy J., Schoell M., Pillinger C.T., Watts D.S. (1991) Rearranged hopanes in sediments and petroleum. *Geochim. Cosmochim. Acta*. **55**, 3333–3353.
- Moldowan J.M., Siefert W.K., Gallegos E.J. (1985) Relationship between petroleum composition and depositional environment of petroleum source rocks. *American Association of Petroleum Geologists Bulletin*. **69**, 1255–1268.
- Peters K.E., Moldowan J.M. (1993) *The biomarker guide. Interpreting molecular fossils in petroleum and ancient sediments*. Prentice-Hall, Inc. New Jersey.
- Peters, K.E., Walters, C.W., Moldowan, J.M. (2005) *The Biomarker Guide*. Cambridge University Press, Cambridge, 706 p.
- Rohmer M., Bouvier-Navez P., Ourisson G. (1984) Distribution of hopanoid triterpenes in prokaryotes. *J. General Microbiology*. **130**, 1137–1150.
- Siefert W.K., Moldowan J.M. (1978) Applications of steranes, terpanes and monoaromatics to the maturation, migration and source of crude oils. *Geochim. Cosmochim. Acta*. **42**, 77–95.
- Sieskind O., Joly G., Albrecht P. (1979) Simulation of the geochemical transformations of sterols: superacid effect of clay minerals. *Geochim. Cosmochim. Acta*. **43**, 1675–1679.
- Van Graas G.W. (1990) Biomarker maturity parameters for high maturities: calibration of the working range up to the oil/condensate threshold. *Org. Geochem.* **16**, 1025–1032.